

Schémas de lifting adaptatifs via des critères parcimonieux et leurs applications à la compression d'images

M. Kâaniche¹, B. Pesquet-Popescu¹, A. Benazza-Benyahia²,
J.-C. Pesquet³

¹ Telecom-ParisTech, Département Traitement du Signal et des Images

² Ecole Supérieure des Communications de Tunis
Unité de Recherche en Imagerie Satellitaire et ses Applications

³ Université de Paris-Est, Marne-la-Vallée,
Laboratoire d'Informatique, Equipe Signal et Communications



Plan

- I- Contexte général
- II- Transformation par schémas de lifting
- III- Optimisation des opérateurs de lifting
- IV- Résultats expérimentaux
- V- Conclusion

Partie I

Contexte général

De la Transformation en Ondelettes (TO) de première génération à la TO de seconde génération

- ▶ La TO de première génération repose sur le concept de bancs de filtres

De la Transformation en Ondelettes (TO) de première génération à la TO de seconde génération

- ▶ La TO de première génération repose sur le concept de bancs de filtres
- ▶ A l'exception des ondelettes de Haar, un banc de filtres RIF à coefficients réels ne peut pas garantir simultanément la propriété d'orthogonalité et de symétrie (filtres à phase linéaire)

De la Transformation en Ondelettes (TO) de première génération à la TO de seconde génération

- ▶ La TO de première génération repose sur le concept de bancs de filtres
- ▶ A l'exception des ondelettes de Haar, un banc de filtres RIF à coefficients réels ne peut pas garantir simultanément la propriété d'orthogonalité et de symétrie (filtres à phase linéaire)

⇒ Recours aux ondelettes biorthogonales [Cohen et Daubechies, 1992]

De la Transformation en Ondelettes (TO) de première génération à la TO de seconde génération

- ▶ La TO de première génération repose sur le concept de bancs de filtres
- ▶ A l'exception des ondelettes de Haar, un banc de filtres RIF à coefficients réels ne peut pas garantir simultanément la propriété d'orthogonalité et de symétrie (filtres à phase linéaire)
 - ⇒ Recours aux ondelettes biorthogonales [Cohen et Daubechies, 1992]
 - ⇒ Introduction des schémas de lifting (TO de seconde génération) [Sweldens, 1995]

Intérêt des schémas de lifting

- Exemples d'applications :
 - ▶ Débruitage
 - ▶ Compression (images fixes/animées, stéréo/multi-vues, maillages des objets 3D)

Intérêt des schémas de lifting

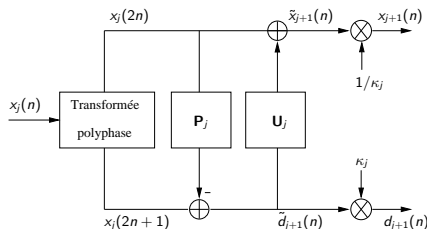
- Exemples d'applications :
 - ▶ Débruitage
 - ▶ Compression (images fixes/animées, stéréo/multi-vues, maillages des objets 3D)
- Objectifs :
 - ▶ Principe des schémas de lifting (cas des signaux 1D et 2D)
 - ▶ Conception de schémas mieux *adaptés* au *contenu* du signal d'entrée (contexte de la compression d'images fixes)

Partie II

Transformation par schémas de lifting

Principe des schémas de lifting

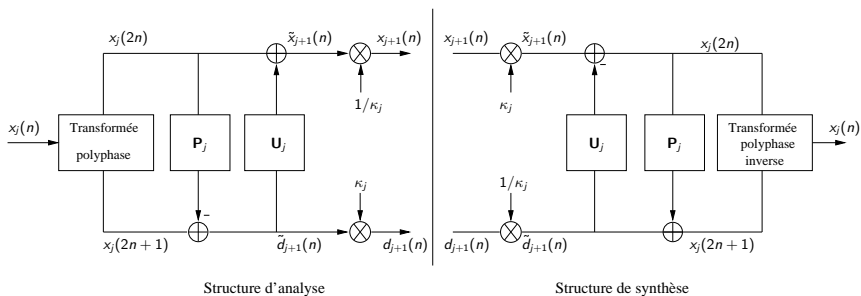
► Cas d'un signal 1D



Structure d'analyse

Principe des schémas de lifting

► Cas d'un signal 1D



Principe des schémas de lifting

- ▶ Avantages :

Principe des schémas de lifting

- ▶ Avantages :
 - Calcul "sur place"

Principe des schémas de lifting

- ▶ Avantages :
 - Calcul "sur place"
 - Complexité opératoire : Nombre d'opérations réduit de moitié par rapport à celui d'une implantation directe des TO à bancs de filtres

Principe des schémas de lifting

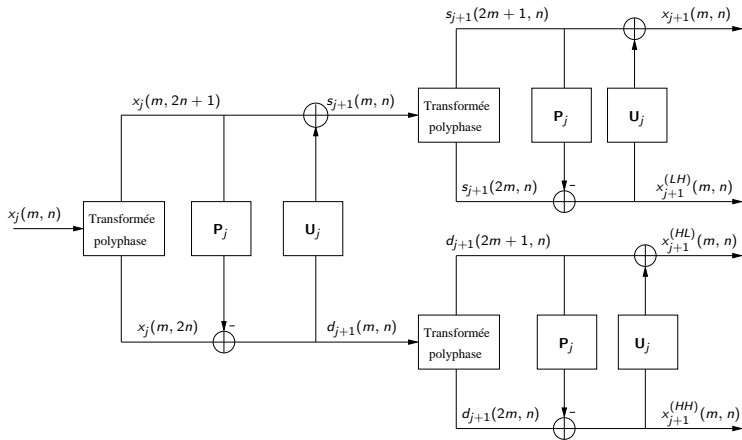
- ▶ Avantages :
 - Calcul "sur place"
 - Complexité opératoire : Nombre d'opérations réduit de moitié par rapport à celui d'une implantation directe des TO à bancs de filtres
 - Réversibilité

Principe des schémas de lifting

- ▶ Avantages :
 - Calcul "sur place"
 - Complexité opératoire : Nombre d'opérations réduit de moitié par rapport à celui d'une implantation directe des TO à bancs de filtres
 - Réversibilité
 - Conservation des valeurs entières (codage sans perte)

Principe des schémas de lifting

- ▶ Cas d'un signal 2D : décomposition séparable



Principe des schémas de lifting

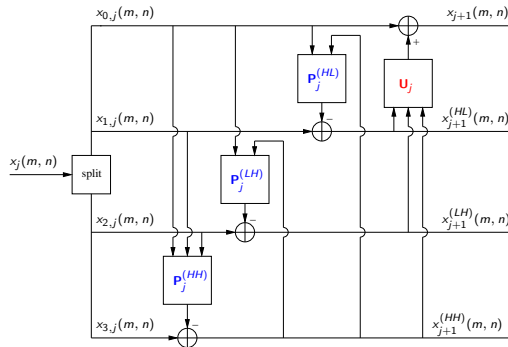
- ▶ Limitations d'un schéma de lifting séparable.
 - ↪ Peu efficace pour les images ayant des structures qui ne sont ni horizontales ni verticales

Principe des schémas de lifting

- ▶ Limitations d'un schéma de lifting séparable.
 - Peu efficace pour les images ayant des structures qui ne sont ni horizontales ni verticales
- ▶ Solution :
 - Développement d'une décomposition 2D **Non Séparable (NSLS)** pour :
 - mieux exploiter les caractéristiques bidimensionnelles des images
 - offrir plus de flexibilité dans la conception des filtres
 - simplifier le problème d'optimisation

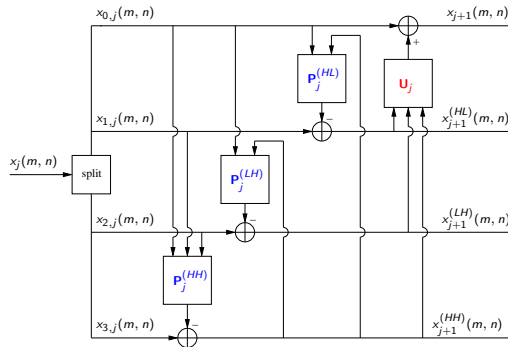
Principe des schémas de lifting

- ▶ Décomposition 2D non séparable



Principe des schémas de lifting

- ▶ Décomposition 2D non séparable



↪ toute structure de lifting P-U est équivalente à cette décomposition non séparable.

↪ réduction des étapes de lifting et des opérations d'arrondi

Principe des schémas de lifting

Performances de codage dépendent des coefficients des filtres de prédiction et de mise à jour.

→ Nouvelles méthodes d'optimisation.

Partie III

Optimisation des opérateurs de lifting

Optimisation du filtre de mise à jour \mathbf{U}_j

Méthode récente d'état de l'art : minimisation de l'erreur de reconstruction [A. Gouze, et al., 2004]

$$\begin{aligned}\mathcal{J} &= E[(x_j(m, n) - \hat{x}_j(m, n))^2] \\ &= \frac{1}{4} \left(E[(x_{0,j}(m, n) - \hat{x}_{0,j}(m, n))^2] + E[(x_{1,j}(m, n) - \hat{x}_{1,j}(m, n))^2] \right. \\ &\quad \left. + E[(x_{2,j}(m, n) - \hat{x}_{2,j}(m, n))^2] + E[(x_{3,j}(m, n) - \hat{x}_{3,j}(m, n))^2] \right). \end{aligned} \quad (1)$$

où \hat{x}_j désigne l'image reconstruite

A. Gouze, M. Antonini, M. Barlaud and B. Macq, Design of signal-adapted multidimensional lifting schemes for lossy coding, *IEEE Transactions on Image Processing*, 2004.

Optimisation du filtre de mise à jour \mathbf{U}_j

Nouveau critère : minimisation de la différence entre la sortie du filtre passe-bas reliant x_j à x_{j+1} et la sortie du filtre passe-bas idéal h [M. Kaaniche, et al., 2011] :

$$\begin{aligned}\hat{\mathcal{J}}(u_j) &= E\left[\left(x_{j+1}(m, n) - y_{j+1}(m, n)\right)^2\right] \\ &= E\left[\left(x_{0,j}(m, n) + \sum_{o \in \{HL, LH, HH\}} \sum_{(k, l) \in \mathcal{U}_j^{(o)}} u_j^{(o)}(k, l) x_{j+1}^{(o)}(m - k, n - l) \right.\right. \\ &\quad \left.\left. - y_{j+1}(m, n)\right)^2\right]\end{aligned}$$

$$\text{avec } y_{j+1}(m, n) = \tilde{y}_j(2m, 2n) = (h * x_j)(2m, 2n)$$

M. Kaaniche, A. Benazza-Benyahia, B. Pesquet-Popescu and J. -C. Pesquet, "Non separable lifting scheme with adaptive update step for still and stereo image coding", *Elsevier Signal Processing, Special issue on Advances in*

Multirate Filter Bank Structures and Multiscale Representations, 2011

Optimisation du filtre de mise à jour \mathbf{U}_j

Nouveau critère : minimisation de la différence entre la sortie du filtre passe-bas reliant x_j à x_{j+1} et la sortie du filtre passe-bas idéal h [M. Kaaniche, et al., 2011] :

$$\begin{aligned}\hat{\mathcal{J}}(u_j) &= E\left[\left(x_{j+1}(m, n) - y_{j+1}(m, n)\right)^2\right] \\ &= E\left[\left(x_{0,j}(m, n) + \sum_{o \in \{HL, LH, HH\}} \sum_{(k, l) \in \mathcal{U}_j^{(o)}} u_j^{(o)}(k, l) x_{j+1}^{(o)}(m - k, n - l)\right.\right. \\ &\quad \left.\left. - y_{j+1}(m, n)\right)^2\right]\end{aligned}$$

avec $y_{j+1}(m, n) = \tilde{y}_j(2m, 2n) = (h * x_j)(2m, 2n)$

↪ solution optimale : **système linéaire d'équations** de taille égale à la longueur du filtre de mise à jour

Optimisation des filtres de prédiction $\mathbf{p}_j^{(HH)}$, $\mathbf{p}_j^{(LH)}$ et $\mathbf{p}_j^{(HL)}$

Approche de base : minimisation de la variance du signal de détails
[Solé, Salembier, 2007] :

$$\forall o \in \{HH, LH, HL\} \quad \text{et} \quad i \in \{0, 1, 2\},$$

$$\begin{aligned} \tilde{\mathcal{J}}(\mathbf{p}_j^{(o)}) &= \sum_{m,n} \left(x_{j+1}^{(o)}(m, n) \right)^2 \\ &= \sum_{m,n} \left(x_{i,j}(m, n) - (\mathbf{p}_j^{(o)})^\top \tilde{\mathbf{x}}_j^{(o)}(m, n) \right)^2 \end{aligned}$$

avec $x_{i,j}$ la $(i+1)^{th}$ composante polyphase à prédire,
et $\tilde{\mathbf{x}}_j^{(o)}$ le vecteur de référence.

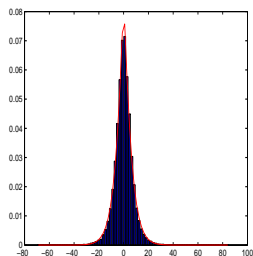
J. Solé and P. Salembier, "Generalized lifting prediction optimization applied to lossless image compression", *IEEE Signal Processing Letters*, 2007.

Motivation : intérêt des critères ℓ_1

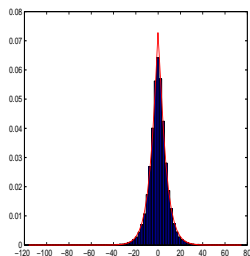
- ▶ Théorie de l'information :
 - Hypothèses :
 - 1) Source gaussienne généralisée d'exposant β
 - 2) Haute résolution

Motivation : intérêt des critères ℓ_1

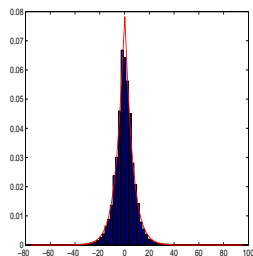
- ▶ Théorie de l'information :
 - Hypothèses :
 - 1) Source gaussienne généralisée d'exposant β
 - 2) Haute résolution
→ minimisation de l'entropie des signaux détails est équivalente à la minimisation de leur norme ℓ_β

Motivation : intérêt des critères ℓ_1 

$$\beta^{(HH)} = 1.15$$

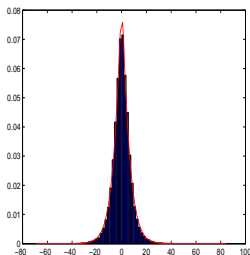


$$\beta^{(LH)} = 1.14$$

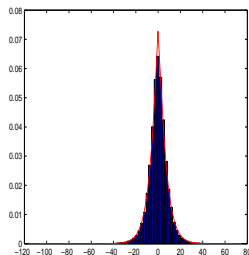


$$\beta^{HL} = 1.07$$

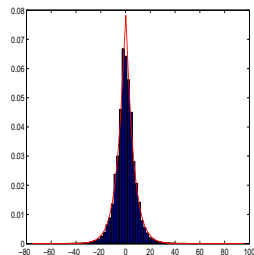
Motivation : intérêt des critères ℓ_1



$$\beta^{(HH)} = 1.15$$



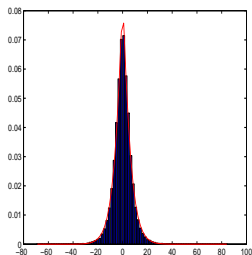
$$\beta^{(LH)} = 1.14$$



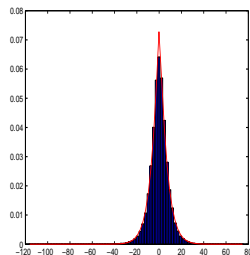
$$\beta^{(HL)} = 1.07$$

↪ La minimisation ℓ_1 peut être plus efficace que la minimisation ℓ_2 .

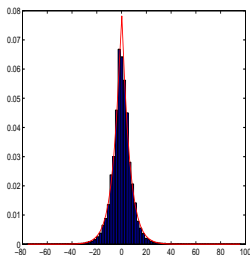
Motivation : intérêt des critères ℓ_1



$$\beta^{(HH)} = 1.15$$



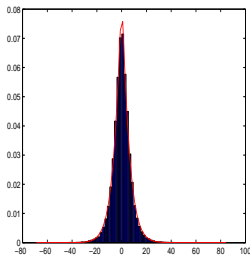
$$\beta^{(LH)} = 1.14$$



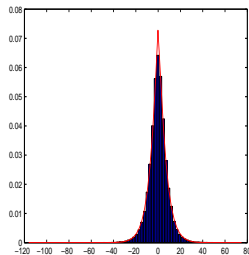
$$\beta^{HL} = 1.07$$

- ↪ La minimisation ℓ_1 peut être plus efficace que la minimisation ℓ_2 .
- ↪ La minimisation ℓ_1 produit des représentations parcimonieuses.

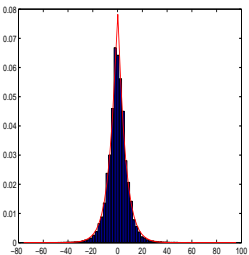
Motivation : intérêt des critères ℓ_1



$$\beta^{(HH)} = 1.15$$



$$\beta^{(LH)} = 1.14$$



$$\beta^{(HL)} = 1.07$$

- ↪ La minimisation ℓ_1 peut être plus efficace que la minimisation ℓ_2 .
- ↪ La minimisation ℓ_1 produit des représentations parcimonieuses.
- ↪ Amélioration du codage de la carte de signification (dans les codeurs emboîtés)

Optimisation séparée des filtres de prédiction

- ▶ Chaque filtre est optimisé en minimisant le critère ℓ_1 suivant :

$$\forall o \in \{HH, LH, HL\} \quad \text{et} \quad i \in \{0, 1, 2\},$$

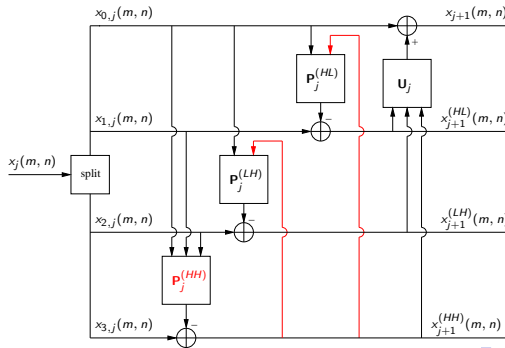
$$\begin{aligned} \mathcal{J}_{\ell_1}(\mathbf{p}_j^{(o)}) &= \sum_{m,n} \left| x_{j+1}^{(o)}(m, n) \right| \\ &= \sum_{m,n} \left| x_{i,j}(m, n) - (\mathbf{p}_j^{(o)})^\top \tilde{\mathbf{x}}_j^{(o)}(m, n) \right| \end{aligned}$$

- ▶ Minimisation en utilisant l'algorithme de Douglas-Rachford [Combettes, Pesquet, 09].

P.-L. Combettes and J.-C. Pesquet, "Proximal splitting methods in signal processing", *Fixed-Point Algorithms for Inverse Problems in Science and Engineering*, 2010.

Optimisation séparée des filtres de prédiction

- Inconvénient : procédure sous-optimale puisque le signal détail diagonal $x_{j+1}^{(HH)}$ est utilisé pour calculer les signaux détails $x_{j+1}^{(LH)}$ et $x_{j+1}^{(HL)}$.



Optimisation conjointe : motivation

- ▶ Solution : Optimiser le filtre de prédiction \mathbf{p}_j^{HH} en minimisant l'erreur de prédiction globale :

$$\mathcal{J}_{w\ell_1}(\mathbf{p}_j^{(HH)}) = \sum_{o \in \{HL, LH, HH\}} \sum_{m, n} \sqrt{w_j^{(o)}} |x_{j+1}^{(o)}(m, n)|$$

où les $w_j^{(o)}$ sont les poids des sous-bandes détails $x_{j+1}^{(o)}$.

↪ Minimisation en utilisant l'algorithme de Douglas-Rachford dans un espace produit.

Optimisation conjointe : motivation

► Problèmes :

- L'optimisation de $\mathbf{p}_j^{(HH)}$ dépend de celle de $\mathbf{p}_j^{(HL)}$ et $\mathbf{p}_j^{(LH)}$ et inversement.
- Les poids $w_j^{(o)}$ dépendent des coefficients des filtres de prédiction à optimiser.

Optimisation conjointe : motivation

► Problèmes :

- L'optimisation de $\mathbf{p}_j^{(HH)}$ dépend de celle de $\mathbf{p}_j^{(HL)}$ et $\mathbf{p}_j^{(LH)}$ et inversement.
- Les poids $w_j^{(o)}$ dépendent des coefficients des filtres de prédiction à optimiser.

→ un nouvel algorithme itératif permettant l'optimisation **conjointe** des différents filtres.

Optimisation conjointe : Algorithme proposé

► 1) Initialisation : $it = 0$.

- Optimiser séparément les filtres de prédiction en minimisant la norme ℓ_1 de chaque signal détail. Les filtres résultants seront notés $\mathbf{p}_j^{(HH,it)}$, $\mathbf{p}_j^{(LH,it)}$ et $\mathbf{p}_j^{(HL,it)}$
- Optimiser le filtre de mise à jour en minimisant le critère proposé $\hat{\mathcal{J}}(u_j)$
- Calculer les poids $w_j^{(o,it)}$ de chaque sous-bande de détails ainsi que l'erreur de prédiction globale

Optimisation conjointe : Algorithme proposé

► 2) pour $it = 1, 2, 3, \dots$

- Fixer $\mathbf{p}_j^{(LH)} = \mathbf{p}_j^{(LH,it-1)}$, $\mathbf{p}_j^{(HL)} = \mathbf{p}_j^{(HL,it-1)}$, et optimiser $\mathbf{P}_j^{(HH)}$ en minimisant $\mathcal{J}_{w\ell_1}(\mathbf{p}_j^{(HH)}) \hookrightarrow \mathbf{p}_j^{(HH,it)}$.
- Fixer $\mathbf{p}_j^{(HH)} = \mathbf{p}_j^{(HH,it)}$, et optimiser $\mathbf{P}_j^{(LH)}$ en minimisant $\mathcal{J}_{\ell_1}(\mathbf{p}_j^{(LH)}) \hookrightarrow \mathbf{p}_j^{(LH,it)}$
- Fixer $\mathbf{p}_j^{(HH)} = \mathbf{p}_j^{(HH,it)}$, et optimiser $\mathbf{P}_j^{(HL)}$ en minimisant $\mathcal{J}_{\ell_1}(\mathbf{p}_j^{(HL)}) \hookrightarrow \mathbf{p}_j^{(HL,it)}$
- Optimiser le filtre de mise à jour en minimisant le critère proposé $\hat{\mathcal{J}}(u_j)$
- Calculer les poids $w_j^{(o,it)}$ de chaque sous-bande détail ainsi que l'erreur de prédiction globale pondérée

Optimisation conjointe : Algorithme proposé

► 2) pour $it = 1, 2, 3, \dots$

- Fixer $\mathbf{p}_j^{(LH)} = \mathbf{p}_j^{(LH,it-1)}$, $\mathbf{p}_j^{(HL)} = \mathbf{p}_j^{(HL,it-1)}$, et optimiser $\mathbf{P}_j^{(HH)}$ en minimisant $\mathcal{J}_{w\ell_1}(\mathbf{p}_j^{(HH)}) \hookrightarrow \mathbf{p}_j^{(HH,it)}$.
 - Fixer $\mathbf{p}_j^{(HH)} = \mathbf{p}_j^{(HH,it)}$, et optimiser $\mathbf{P}_j^{(LH)}$ en minimisant $\mathcal{J}_{\ell_1}(\mathbf{p}_j^{(LH)}) \hookrightarrow \mathbf{p}_j^{(LH,it)}$
 - Fixer $\mathbf{p}_j^{(HH)} = \mathbf{p}_j^{(HH,it)}$, et optimiser $\mathbf{P}_j^{(HL)}$ en minimisant $\mathcal{J}_{\ell_1}(\mathbf{p}_j^{(HL)}) \hookrightarrow \mathbf{p}_j^{(HL,it)}$
 - Optimiser le filtre de mise à jour en minimisant le critère proposé $\hat{\mathcal{J}}(u_j)$.
 - Calculer les poids $w_j^{(o,it)}$ de chaque sous-bande de détails ainsi que l'erreur de prédiction globale pondérée.
- 3) Sélectionner les filtres optimaux obtenus à l'itération donnant la valeur minimale de l'erreur de prédiction globale

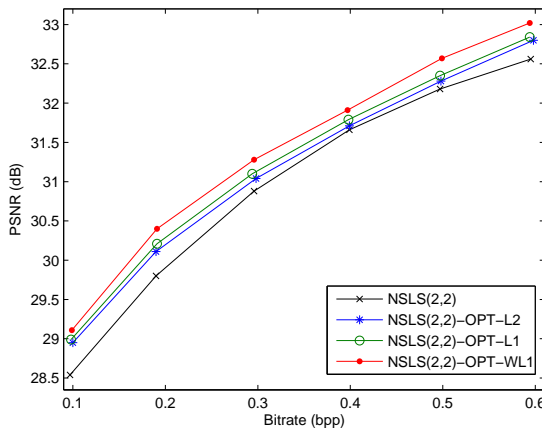
Partie IV

Résultats expérimentaux

Performances des méthodes proposées

- ▶ Schéma NSLS(2,2) : Appliquer la transformation en ondelettes 5/3 (en mode non séparable) à l'image cible.
- ▶ Schéma NSLS(2,2)-OPT-L2 : Optimiser les filtres de prédiction, en minimisant la variance des signaux détails (norme ℓ_2), du schéma NSLS(2,2).
- ▶ Schéma NSLS(2,2)-OPT-L1 : Optimiser les filtres de prédiction en minimisant la norme ℓ_1 des signaux détails.
- ▶ Schéma NSLS(2,2)-OPT-WL1 : Optimiser les filtres de prédiction en minimisant de façon itérative la somme pondérée des normes ℓ_1 des signaux détails.

Performances en terme de courbe débit-distorsion (PSNR)



PSNR (en dB) en fonction du débit (en bpp) après codage de l'image "einst"

Comparaisons avec la transformation 9/7

		0.05 bpp		0.1 bpp		0.15 bpp	
		NSLS(2,2)- OPT-WL1	9/7	NSLS(2,2)- OPT-WL1	9/7	NSLS(2,2)- OPT-WL1	9/7
elaine	PSNR	27.85	27.75	30.25	30.31	31.23	31.34
	SSIM	0.669	0.659	0.716	0.714	0.739	0.738
	VSNR	18.44	18.09	23.10	23.05	25.60	25.50
castle	PSNR	25.10	25.09	27.08	27.18	28.36	28.51
	SSIM	0.725	0.712	0.790	0.780	0.825	0.821
	VSNR	17.54	17.22	21.55	21.10	23.74	23.40
lena	PSNR	26.70	26.68	29.59	29.56	31.22	31.47
	SSIM	0.747	0.734	0.818	0.808	0.850	0.850
	VSNR	15.95	15.73	20.56	20.18	24.05	23.95
boat	PSNR	24.65	24.55	26.82	26.86	28.43	28.54
	SSIM	0.675	0.661	0.753	0.746	0.806	0.802
	VSNR	13.41	13.03	17.14	16.89	20.24	19.76

Comparaisons avec la transformation 9/7



(a) : PSNR=29.56 dB, SSIM=0.808, VSNR=20.18 dB

(b) : PSNR=29.59 dB, SSIM=0.818, VSNR=20.56 dB

Image "lena" reconstruite à 0.1 bpp :

(a) transformation 9/7 ; (b) NSLS(2,2)-OPT-WL1 .

Comparaisons avec la transformation 9/7



(a) : PSNR=29.56 dB, SSIM=0.808, VSNR=20.18 dB

(b) : PSNR=29.59 dB, SSIM=0.818, VSNR=20.56 dB

Image "lena" reconstruite à 0.1 bpp :

(a) transformation 9/7 ; (b) NSLS(2,2)-OPT-WL1 .

Partie V

Conclusion

Conclusion

- ▶ Intérêt des schémas de lifting.
- ▶ Application de ces schémas dans le contexte de la compression d'images.
- ▶ Méthodes d'optimisation des opérateurs de lifting.
- ▶ Développement de nouveaux critères parcimonieux pour le codage

Merci pour votre attention